## ESCOLA DE ENGENHARIA DE LORENA – EEL/USP TERMODINÂMICA QUÍMICA – PROF. ANTONIO CARLOS DA SILVA

# EQUILÍBRIO DE FASES EM SISTEMAS SIMPLES A REGRA DAS FASES

## 1. CONDIÇÃO DE EQUILÍBRIO

"O potencial químico de cada constituinte deve possuir o mesmo valor em todos os pontos do sistema (para sistema em equilíbrio)"

Se uma substância estiver presente em várias fases, seu potencial químico dever ter o mesmo valor em todas as fases.

Exemplo: 
$$\acute{a}gua(g) = \acute{a}gua(l)$$
  $\left(\mu_{\acute{a}gua}\right)_{v} = \left(\mu_{\acute{a}gua}\right)_{l}$ 

Se o sistema for constituído por apenas um componente:  $\mu = G/n$  . Dividindo a equação fundamental [dG = -SdT + VdP] por n:

$$d\mu = -\bar{S}dT + \bar{V}dP \tag{1}$$

Onde:

Entropia molar: 
$$-\bar{S} = \left(\frac{\partial \mu}{\partial T}\right)_p$$
 (2a)

Volume molar: 
$$\bar{V} = \left(\frac{\partial \mu}{\partial p}\right)_T$$
 (2b)

As derivadas que aparecem nas equações (2a) e (2b) dão os coeficientes angulares das curvas de  $\mu$  em função de p, respectivamente.

# 2. ESTABILIDADE DAS FASES FORMADAS POR UMA SUBSTÂNCIA PURA – INFLUÊNCIA DA TEMPERATURA

Para as três fases de uma substância temos:

De acordo com o Terceiro Princípio da Termodinâmica, a entropia de uma substância é sempre positiva. Assim, na equação (2a),  $(\partial \mu/\partial T)_p$  é sempre negativa. O gráfico de  $\mu$  em função de T, a pressão constante, é uma curva de coeficiente angular negativo.

$$\left(\frac{\partial \mu_{s\'olido}}{\partial T}\right)_{p} = -\bar{S}_{s\'olido} \qquad \left(\frac{\partial \mu_{l\'iquido}}{\partial T}\right)_{p} = -\bar{S}_{l\'iquido} \qquad \left(\frac{\partial \mu_{g\'as}}{\partial T}\right)_{p} = -\bar{S}_{g\'as} \qquad (3)$$

$$\bar{S}_{g\acute{a}s} \gg \bar{S}_{l\acute{i}quido} > \bar{S}_{s\acute{o}lido}$$
 (4)

"A fase que apresenta o potencial químico mais baixo é a mais estável"

Representando em um gráfico, mostrado a seguir, a reta S para o estado sólido apresenta inclinação ligeiramente negativa, a reta L para o estado líquido possui coeficiente angular ligeiramente

mais negativo e a curva G, para o estado gasoso, apresenta coeficiente angular com grande valor negativo.

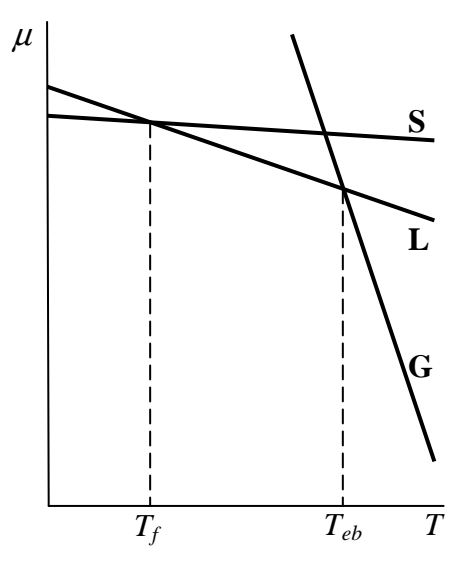


Figura 1 -  $\mu$  em função de T a pressão constante

Na Figura 1, na interseção entre as curvas S e L,  $\mu_{s\'olido} = \mu_{l\'iquido}$  e há equilíbrio entre as fases sólido e líquido. A temperatura neste ponto é a temperatura de fusão.

Da mesma forma, gás e líquido existem em equilíbrio nas condições indicadas pelo ponto de interseção entre as curvas G e L, na temperatura de ebulição.

Para temperaturas inferiores a  $T_f$ , a fase que apresenta menor valor de  $\mu$  é a fase sólida, que é a mais estável. Entre  $T_f$  e  $T_{eb}$  a fase que apresenta menor potencial químico e que é a mais estável é a fase líquida. Para temperaturas superiores a  $T_{eb}$  a fase gasosa é a mais estável.

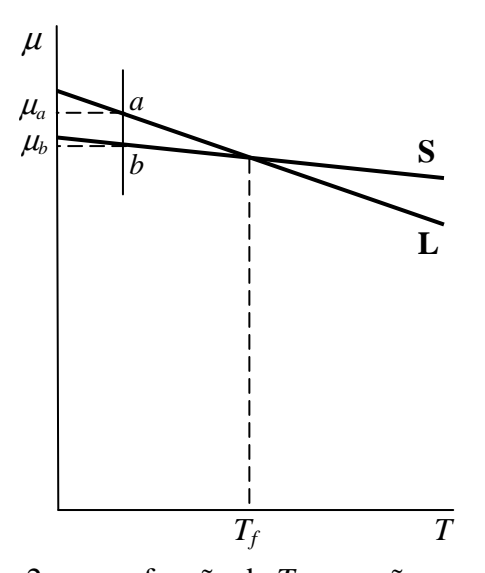


Figura 2 -  $\mu$  em função de T a pressão constante

Na Figura 2, se o líquido estivesse presente em um sistema numa temperatura inferior a  $T_f$ , o potencial químico do líquido teria valor  $\mu_a$  maior que o potencial químico do sólido  $\mu_b$  e o líquido se congelaria espontaneamente a essa temperatura pois isso acarretaria a diminuição da energia de Gibbs.

## 3. VARIAÇÃO DAS CURVAS $\mu = f(T)$ COM A PRESSÃO

Da Equação (2b),  $\bar{V}=(\partial\mu/\partial p)_T$ , que pode ser escrita como  $d\mu=\bar{V}dp$ , se a pressão diminui, dp é negativo,  $\bar{V}$  é positivo e  $d\mu$  diminui. O potencial químico decresce proporcionalmente ao volume da fase.

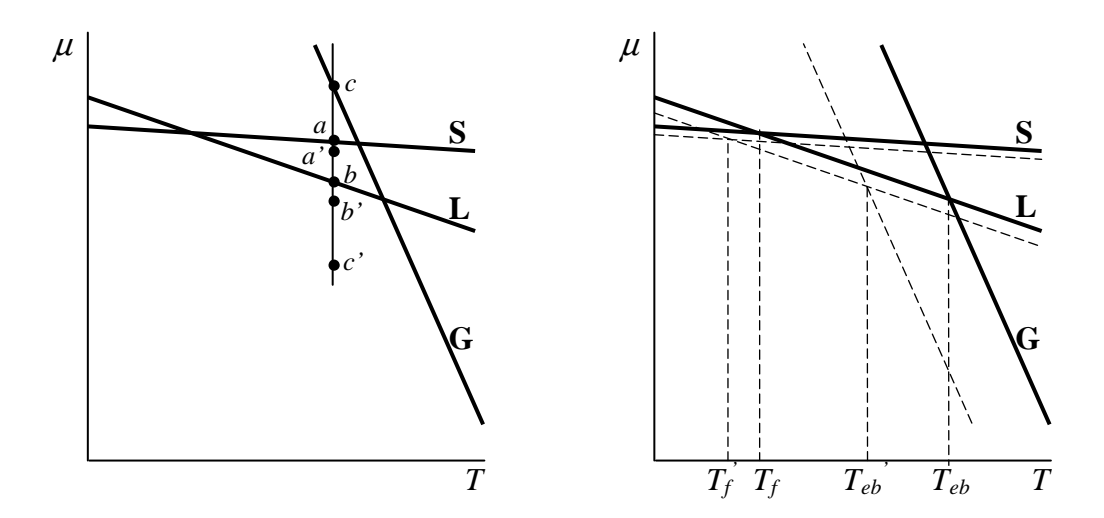


Figura 3 – Efeito da pressão nos pontos de fusão e ebulição. As linhas contínuas correspondem a uma pressão alta e as linhas tracejadas correspondem a uma pressão baixa

Quando a pressão diminui o potencial químico também diminui:

- ✓ Sólidos e líquidos: pequena variação de volume
- ✓ Gases: grande variação de volume (logo, maior variação de µ)

#### Conclui-se que:

- ✓ Quando varia a pressão, alteram-se a temperaturas de fusão e de ebulição de uma substância.
- ✓ A temperatura de ebulição é muito maior que a temperatura de fusão.
- ✓ Se a pressão for reduzida a um valor suficientemente baixo de forma que a temperatura de ebulição se torne menor que a temperatura de fusão, o líquido não possuirá estabilidade e ocorre a sublimação do sólido.

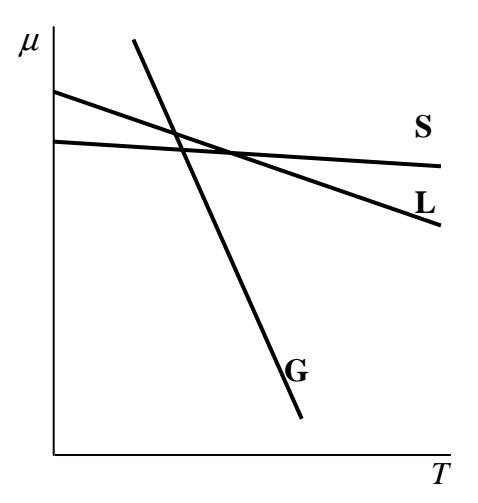


Figura 4 – μ em função de T para uma substância que sublima

A pressão abaixo da qual ocorre sublimação pode ser determinada pela equação conhecida como Regra de Trouton:

$$\ln p = -10.8 \left( \frac{T_{eb} - T_f}{T_f} \right) \tag{5}$$

### 4. A EQUAÇÃO DE CLAPEYRON

Para duas fases  $\alpha$  e  $\beta$  de uma substância pura, a condição de equilíbrio é:

$$\mu_{\alpha}(T, p) = \mu_{\beta}(T, p) \tag{6}$$

Se a pressão variar:  $p \Rightarrow p + dp$ , a temperatura de equilíbrio muda:  $T \Rightarrow T + dT$  e cada potencial químico muda:  $\mu \Rightarrow \mu + d\mu$ .

Então, no estado T + dT e p + dp, no equilíbrio:

$$\mu_{\alpha}(T,p) + d\mu_{\alpha} = \mu_{\beta}(T,p) + d\mu_{\beta} \tag{7}$$

$$d\mu_{\alpha} = d\mu_{\beta} \tag{8}$$

Explicitando cada  $d\mu$  em termos de dp e dT mediante a equação fundamental:

$$d\mu_{\alpha} = -\bar{S}_{\alpha}dT + \bar{V}_{\alpha}dP \quad e \quad d\mu_{\beta} = -\bar{S}_{\beta}dT + \bar{V}_{\beta}dP$$
$$-\bar{S}_{\alpha}dT + \bar{V}_{\alpha}dP = -\bar{S}_{\beta}dT + \bar{V}_{\beta}dP \tag{9}$$

Se a transformação for  $\alpha \rightarrow \beta$  então:

$$\Delta S = \overline{S}_{\beta} - \overline{S}_{\alpha} \quad e \quad \Delta V = \overline{V}_{\beta} - \overline{V}_{\alpha}$$
Equação de
Clapeyron
$$\frac{dp}{dT} = \frac{\Delta S}{\Delta V} \quad ou$$

$$\frac{dp}{dT} = \frac{\Delta S}{\Delta V} \quad (11)$$

A equação de Clapeyron mostra a dependência da temperatura de equilíbrio com a pressão, pois a posição do ponto de interseção das retas representativas das duas fases depende da pressão ou a variação da temperatura de equilíbrio com a temperatura.

Essa equação permite esquematizar o diagrama da pressão de equilíbrio em função da temperatura para qualquer transformação de fase.

# 5. EQUILÍBRIO SÓLIDO-LÍQUIDO

Aplicando a equação de Clapeyron à transformação sólido →líquido, temos:

$$\Delta S = \bar{S}_{liquido} - \bar{S}_{solido} = \Delta S_{fus}$$
$$\Delta V = \bar{V}_{liquido} - \bar{V}_{solido} = \Delta V_{fus}$$

Na temperatura de equilíbrio, a transformação é reversível,  $\Delta G = 0$ .

Assim:  $\Delta S_{fus} = \Delta H_{fus}/T$ .

A transformação de sólido para líquido envolve absorção de calor, logo  $\Delta H_{fus}$  é sempre positivo, então:

 $\Delta S_{fus}$  é positivo para todas as substâncias

A quantidade  $\Delta V_{fus\~ao}$  pode ser tanto positiva quando negativa, conforme a densidade do sólido seja maior ou menor que a do líquido:

$$\Delta V_{fus}$$
 é positivo para a maioria das substâncias  $\Delta V_{fus}$  é negativo para algumas substâncias (exemplo: água)

Ordinariamente, essas grandezas apresentam os seguintes valores:

$$\Delta S_{fus} = 8 \text{ a } 25 \text{ J/(K.mol)}$$
  
 $\Delta V_{fus} = \pm (1 \text{ a } 10) \text{ cm}^3/\text{mol}$ 

Como exemplo, suponha que  $\Delta S_{fusão} = 16 \text{ J/(K.mol)}$  e  $\Delta V_{fusão} = \pm 4 \text{ cm}^3/\text{mol}$ . Teremos:

$$\frac{dp}{dT} = \frac{16 \text{ J/(K.mol)}}{\pm 4(10^{-6}) \text{ m}^3/\text{mol}} = \pm 4(10^6) \text{Pa/K} = \pm 40 \text{ atm/K}$$

Inversamente,  $dT/dp = \pm 0.02$  K/atm. Este valor mostra que uma variação de 1 atm na pressão causa uma alteração de alguns centésimos de Kelvin no ponto de fusão. O coeficiente angular é elevado e a curva é quase vertical. Se dp/dT for positivo, a representação gráfica é a seguinte:

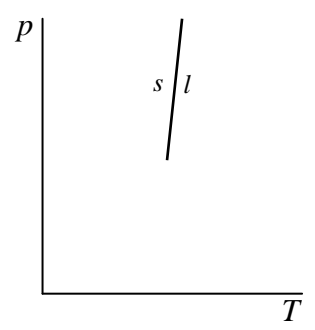


Figura 5 – Linha de equilíbrio Sólido-Líquido

# 6. EQUILÍBRIO LÍQUIDO-GÁS

Aplicando a equação de Clapeyron à transformação líquido →gás, temos:

$$\Delta S = \bar{S}_{g\acute{a}s} - \bar{S}_{l\acute{i}quido} = \Delta S_{vap} = \frac{\Delta H_{vap}}{T}$$

$$\Delta V = \bar{V}_{g\acute{a}s} - \bar{V}_{l\acute{i}quido} = \Delta V_{vap}$$

$$\Delta S_{vap} \quad \text{\'e positivo para todas as substâncias}$$

$$\Delta V_{vap} \quad \text{\'e positivo para todas as substâncias}$$

$$dp/dT \quad \text{\'e positivo para todas as substâncias}$$

Ordinariamente, essas grandezas apresentam os seguintes valores:

$$\Delta S_{vap} \approx 90 \text{ J/(K.mol)}$$

$$\Delta V_{fusão} = +20.000 \text{ cm}^3/\text{mol}$$

$$\frac{dp}{dT} = \frac{90 \text{ J/(K.mol)}}{0.02 \text{ m}^3/\text{mol}} = 4000 \text{ Pa/K} = 0.04 \text{ atm/K}$$

A linha representativa do equilíbrio líquido-gás possui, sempre, um coeficiente angular positivo. Entretanto,  $\Delta V$  depende fortemente da T e p, visto que o volume do gás depende de T e p. A inclinação da curva líquido-gás é menor que a inclinação da curva sólido-líquido.

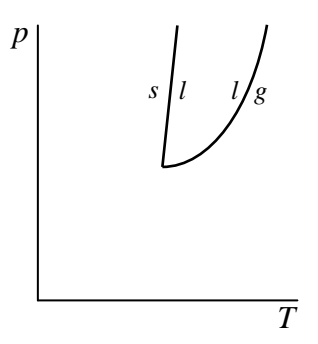


Figura 6 – Linhas de equilíbrio Sólido-Líquido e Líquido-Gás

Na Figura 6, a linha l-g é o lugar geométrico dos valores de pressão e temperatura em que o líquido e o gás coexistem em equilíbrio. Os pontos imediatamente à esquerda de l-g estão abaixo do ponto de ebulição e representam, assim, as condições em que o líquido é estável. Os pontos à direita de l-g representam as condições nas quais o gás é estável.

A interseção das curvas s-l e l-g correspondem à temperatura e pressão em que o sólido, líquido e gás coexistem, todos, em equilíbrio → ponto triplo.

## 7. EQUILÍBRIO SÓLIDO-GÁS

Aplicando a equação de Clapeyron à transformação sólido →gás, temos:

$$\Delta S = \bar{S}_{g\acute{a}s} - \bar{S}_{s\acute{o}lido} = \Delta S_{sub} = \frac{\Delta H_{sub}}{T}$$
 
$$\Delta V = \bar{V}_{g\acute{a}s} - \bar{V}_{s\acute{o}lido} = \Delta V_{sub}$$
 
$$\Delta S_{vap} \quad \acute{e} \quad \text{positivo para todas as substâncias}$$
 
$$\Delta V_{vap} \quad \acute{e} \quad \text{positivo para todas as substâncias}$$
 
$$dp/dT \quad \acute{e} \quad \text{positivo para todas as substâncias}$$

A inclinação da curva s-g é mais pronunciada no ponto triplo que a curva l-g. No ponto triplo,

$$\Delta H_{sub} = \Delta H_{vap} + \Delta H_{fus}$$

Como  $\Delta H_{sub}$  é maior que  $\Delta H_{vap}$ , a inclinação da curva s-g é mais pronunciada que a inclinação da curva l-g.

$$\left(\frac{dp}{dT}\right)_{l-a} = \frac{\Delta H_{vap}}{T\Delta V}$$
 e  $\left(\frac{dp}{dT}\right)_{s-a} = \frac{\Delta H_{sub}}{T\Delta V}$ 

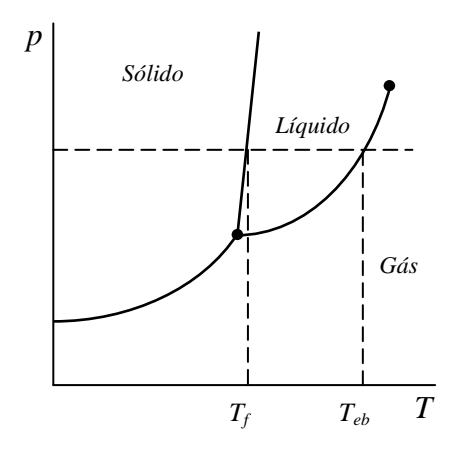


Figura 7 – Diagrama de fase para uma substância simples

#### 8. DIAGRAMA DE FASE

#### O Diagrama de Fase do CO<sub>2</sub>

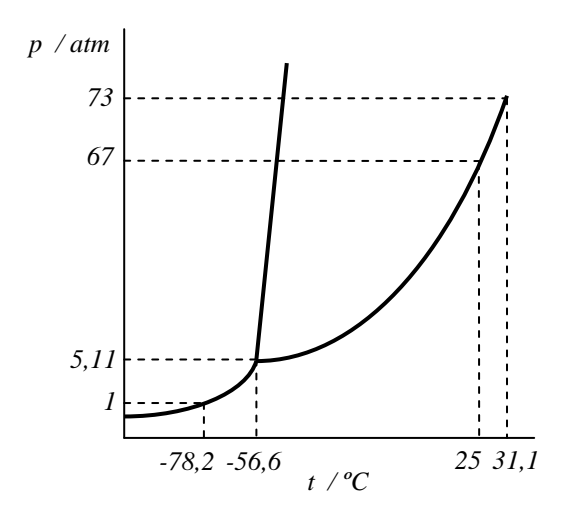


Figura 8 – Diagrama de fase para o CO<sub>2</sub>

A linha sólido-líquido inclina-se ligeiramente para a direita, pois  $\bar{V}_{líq} > \bar{V}_{sól}$ . Nota-se que  $CO_2$  líquido não é estável a pressões inferiores a 5 atm. Por esta razão, o "gelo seco" permanece seco sob as pressões atmosféricas ordinárias. Quando se confina o dióxido de carbono sob pressão em um cilindro a 25°C, o diagrama mostra que, a 67 atm, forma-se  $CO_2$  líquido. Os cilindros comerciais de  $CO_2$  contêm comumente líquido e gás em equilíbrio; a pressão no cilindro está em torno de 67 atm a 25°C.

## O Diagrama de Fase da Água

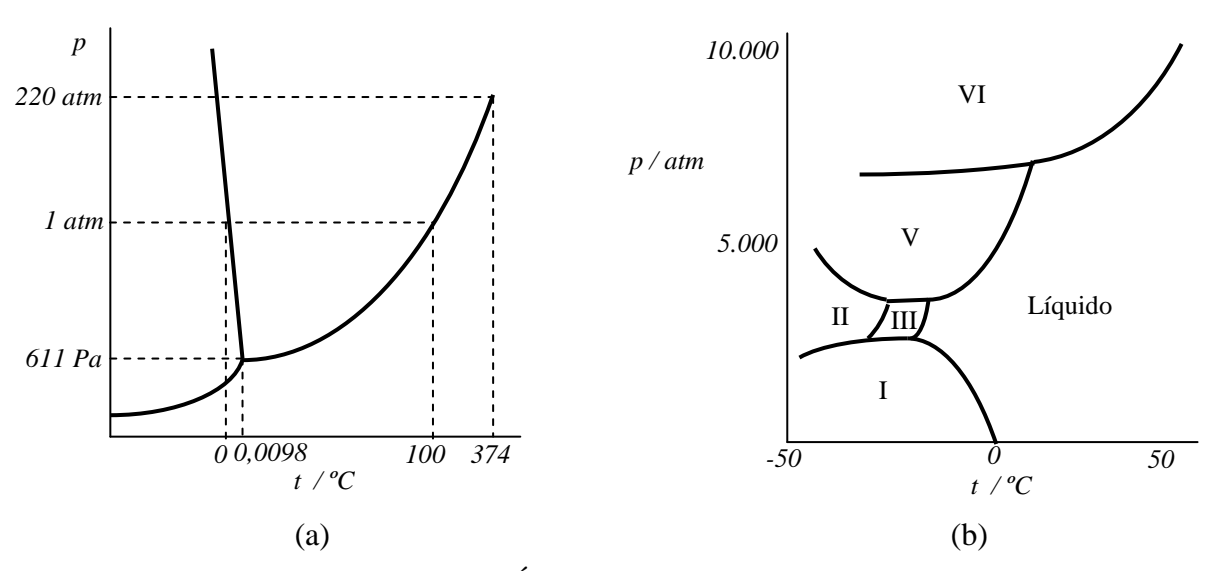


Figura 9 – (a) Diagrama de fase da Água; (b) Diagrama de fase para a água a pressões altas

A Figura 9 (a) mostra o diagrama de fase da água a pressões moderadas. A linha sólido-líquido inclina-se, ligeiramente, à esquerda, visto que  $\bar{V}_{líq} < \bar{V}_{sól}$ . O ponto triplo encontra-se a 0,01°C e 611 Pa. O ponto de congelamento normal da água é 0,0002°C.

#### O Diagrama de Fase do Enxofre

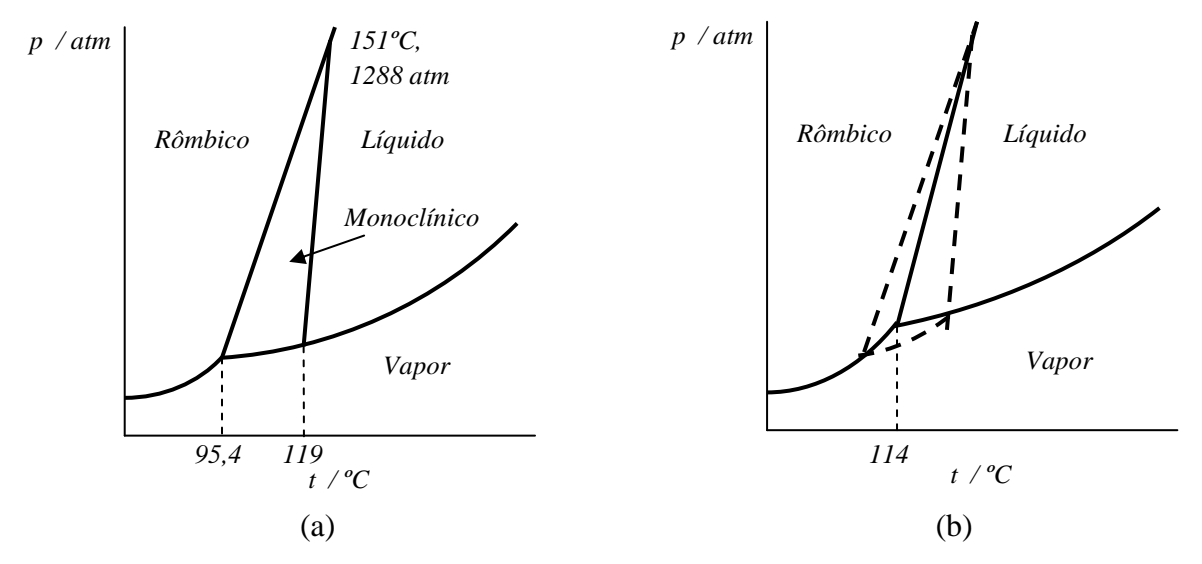


Figura 10 – Diagramas de fase para o enxofre

A Figura 10 mostra dois diagramas de fase para o enxofre. A forma estável do enxofre em temperaturas ordinárias e sob 1 atm de pressão é o enxofre rômbico que, quando aquecido lentamente, se transforma em enxofre monoclínico sólido a 95,4°C.

Na Figura 10 (a) existem três pontos triplos. As condições de equilíbrio são:

a 95,4 °C: 
$$\mu_{ro} = \mu_{mono} = \mu_{g\acute{a}s}$$
  
a 119C:  $\mu_{mono} = \mu_{l\acute{l}q} = \mu_{g\acute{a}s}$   
a 151°C:  $\mu_{ro} = \mu_{mono} = \mu_{l\acute{l}q}$ 

# 9. A INTEGRAÇÃO DA EQUAÇÃO DE CLAPEYRON

#### Equilíbrio Sólido-Líquido

Nesse caso a equação de Clapeyron fica:

$$\frac{dp}{dT} = \frac{\Delta S_{fus}}{\Delta V_{fus}}$$

Então:

$$\int_{p_1}^{p_2} dp = \int_{T_f}^{T_f} \frac{\Delta H_{fus}}{\Delta V_{fus}} \frac{dT}{T}$$

$$p_2 - p_1 = \frac{\Delta H_{fus}}{\Delta V_{fus}} \ln \frac{T_f}{T_f}$$
(12)

Onde  $T_f$  é o ponto de fusão sob a pressão  $p_2$  e  $T_f$  é o ponto de fusão sob a pressão  $p_1$ . Como  $T_f - T_f$  é geralmente muito pequeno, o logaritmo pode ser desenvolvido da seguinte forma:

$$ln\left(\frac{T_f'}{T_f}\right) = ln\left(\frac{T_f + T_f' - T_f}{T_f}\right) = ln\left(1 + \frac{T_f' - T_f}{T_f}\right) \approx \frac{T_f' - T_f}{T_f}$$

Torna-se:

$$\Delta p = \frac{\Delta H_{fus}}{\Delta V_{fus}} \frac{\Delta T}{T_m} \tag{13}$$

Onde  $\Delta T$  é o aumento do ponto de fusão correspondente ao aumento de pressão  $\Delta p$ .

#### Equilíbrio entre a Fase Condensada e o Gás

Para o equilíbrio entre uma fase condensada, sólida ou líquida, com o vapor, temos

$$\frac{dp}{dT} = \frac{\Delta S}{\Delta V} = \frac{\Delta H}{T(\overline{V}_g - \overline{V}_c)}$$

onde  $\Delta H$  é o calor de vaporização molar do líquido ou o calor de sublimação do sólido e  $\bar{V}_c$  é o volume molar do sólido ou do líquido. Na maioria dos casos,  $\bar{V}_g - \bar{V}_c \approx \bar{V}_g$  e isto, admitindo-se que o gás seja ideal, equivale a RT/p. Dessa forma, a equação fica:

$$\frac{d\ln p}{dT} = \frac{\Delta H}{RT^2} \tag{14}$$

que é conhecida como Equação de Clausius-Clapeyron. Esta equação relaciona a pressão de vapor do líquido (ou sólido) com o calor de vaporização (ou sublimação) e a temperatura. Integrando entre dois limites, admitindo que  $\Delta H$  seja independente da temperatura, obtém-se que:

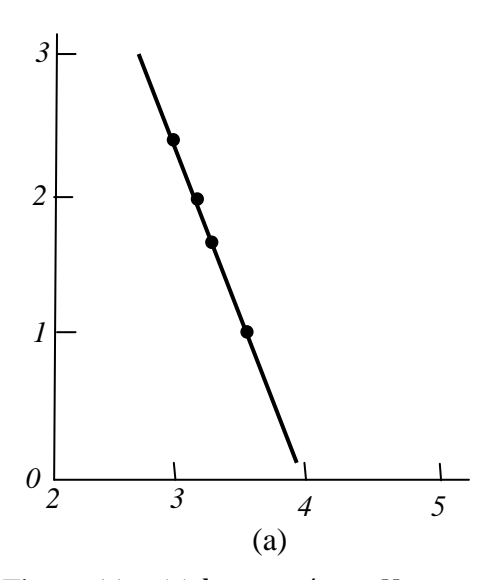
$$\int_{p_{o}}^{p} d \ln p = \int_{T_{0}}^{T} \frac{\Delta H}{RT^{2}} dT$$

$$\ln \frac{p}{p_{0}} = -\frac{\Delta H}{R} \left( \frac{1}{T} - \frac{1}{T_{0}} \right) = -\frac{\Delta H}{RT} + \frac{\Delta H}{RT_{0}}$$
(15)

onde  $p_0$  é a pressão de vapor a  $T_0$  e p é a pressão de vapor a T.

$$\ln p = \frac{\Delta H}{RT_0} - \frac{\Delta H}{RT}$$

$$\log_{10} p = \frac{\Delta H}{2,303RT_0} - \frac{\Delta H}{2,303RT}$$
(16)



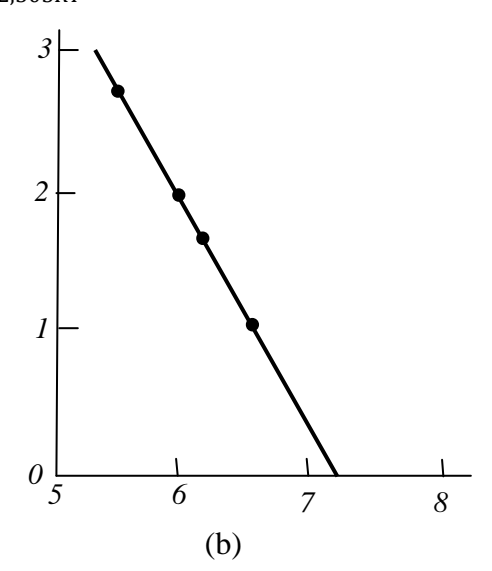


Figura 11 – (a)  $\log_{10} p / mmHg$  contra 1/T para água; (b)  $\log_{10} p / mmHg$  contra 1/T para CO<sub>2</sub> sólido.